

A, Bにおいて、エアシースは完全に形成されており、ウォータージェットの噴流特性は空気中に噴射した場合とはほぼ同様の特性を示す。

図3に噴射方向の流圧分布を示す。流圧は、ノズル出口の流圧を P_0 、測定位置各点の流圧を P として、 P/P_0 の形で求めた。この図に示すように、 $X=5\text{cm}$ (X の方向は図2に示す)の地点では、エアシースの効果は完全であり、流圧分布はノズル出口の流圧分布からほぼ完全に保持されていることがわかる。しかし、噴射方向にノズル口から離れるに従って流圧分布は広がり、エアシースの効果は薄れていくことがわかる。この図では、エアシースの空気流速 V_w を、3段階に変えて流圧分布を示しているが、空気流速が小さい場合は、噴射方向に急激に流圧分布が広がっていき、エアシースの効果は期待できないことがわかる。

以上示すように、エアシース効果は顕著であり、この効果はエアシースの空気流速に密接に関連することがわかる。図4に、エアシースの空気流速とエアシース長の関係を示す。この図に示すように、エアシースの空気流速が速くなるにつれて、エアシース長が長くなっていくことがわかる。

4. 考察

まず、空気流速とエアシース長の関係について検討を四文、式(1)に示す実験式を得ている。

$$L_0 \approx 0.048 U_0 \quad (1)$$

ただし、 L_0 はエアシース長(cm)、 U_0 は空気流速(m/s)である。式(1)の計算値を破線で示すが、実験値と比較して計算値は大きく下回っている。これは、式(1)の実験式は、空気流速が音速の約1/2以上の領域の実験式であり、本実験に示す低速の空気流速にはあてはまらないと考えられる。本実験値の実験式を破線で示すが、式(2)で与えられる。

$$L_0 \approx 0.072 U_0 \quad (2)$$

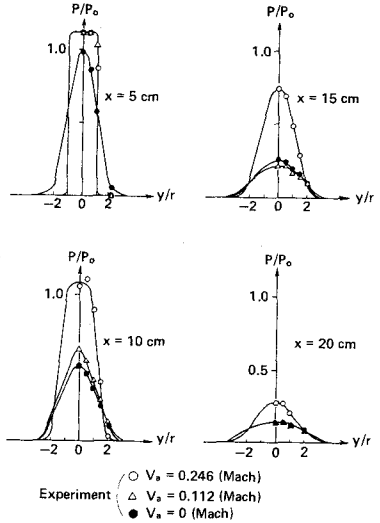
この結果からわかるように、エアシース空気流速領域では、空気流速の影響は、高速の場合と比較してより大きいことがわかる。本実験結果および式(1)の実験式から推定すると、エアシース長は、空気流速が音速の場合には、空気流速が大きくなるに従って伸びていくが、空気流速が音速の約1/2程度になると、その効果は大きくなくなり、鈍化していくことが推定される。

5. まとめ

ウォータージェットの掘削特性を向上させるために、エアシースウォータージェットの噴流特性について検討を加えた。この結果、エアシースのウォータージェット保護効果は顕著で、エアシースを設けることにより、掘削効率を向上させることが期待できる結果が得られた。また、エアシース長は、空気流速の影響を受け、低速領域(音速の1/2以下)では、高速領域(音速の1/2以上)よりも、その効果が約2倍程度大きいことを明らかにした。

(参考文献)

(1)大西, 宮本, 有田; "エアバブルウォータージェットによる水中掘削の検討", 土木学会年次大会講演集, 西-229 (1981) (2)八尋, 吉田, 西; "高速噴流水を利用した地下工法の研究", 広島建設技術研究所年報, 才23号 pp.132~138 (1974)



注) r: ノズル半径, X: 噴射方向距離, y: 半径方向距離(図2参照)

図3 軸方向の流圧分布

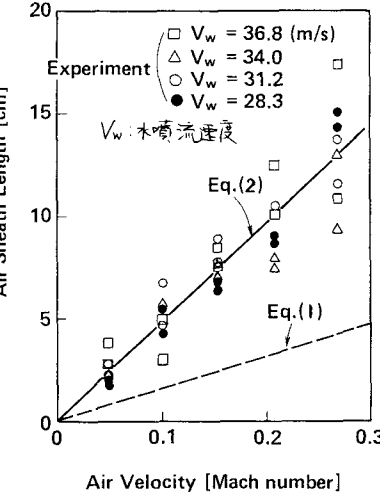


図4 空気流速とシース長の関係